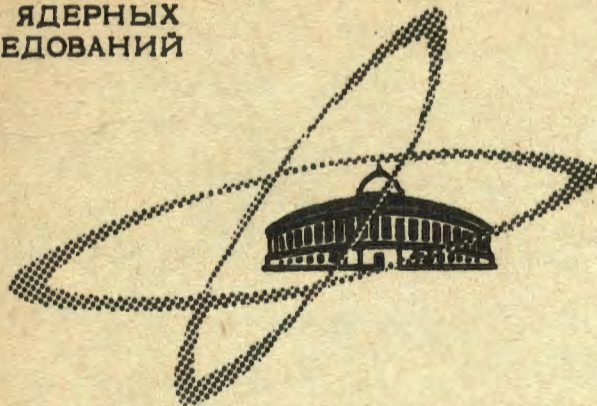


*Б-974*

ОБЪЕДИНЕННЫЙ  
ИНСТИТУТ  
ЯДЕРНЫХ  
ИССЛЕДОВАНИЙ

Дубна

1 - 4080



Я.Бэм, В.Г.Гришин, М.М.Муминов

Альбом ГИИЯ ВЫСОКИХ ЭНЕРГИЙ

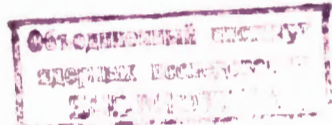
ИЗМЕРЕНИЕ МАЛЫХ СМЕЩЕНИЙ ОСЕЙ ТРЕКОВ  
В ПРОПАНОВОЙ ПУЗЫРЬКОВОЙ КАМЕРЕ

1968

1 · 4080

Я.Вэм, В.Г.Гришин, М.М.Муминов

ИЗМЕРЕНИЕ МАЛЫХ СМЕЩЕНИЙ ОСЕЙ ТРЕКОВ  
В ПРОПАНОВОЙ ПУЗЫРЬКОВОЙ КАМЕРЕ



Исследование процесса прямого образования  $(e^+ e^-)$ -пар электронами в пропановой пузырьковой камере существенно связано с выделением фоновых событий  $(e^+ e^-)$ , возникших в результате конверсий тормозных  $\gamma$ -квантов в  $(e^+ e^-)$ -пары  $^{1/}$ , оси которых смешены относительно первичного электрона. Для этой цели была разработана методика измерения малых смещений осей  $(e^+ e^-)$ -пар относительно осей первичных электронов. Измерения проводились на микроскопе МБИ-9 с окулярным микрометром  $(15 \times 6,3)$ . Одно деление соответствует 1,82 микрона на кадре. Увеличение оптической системы 24-литровой камеры Лаборатории высоких энергий ОИЯИ равно  $z = 10 \pm 0,4$ . Камера была помещена в магнитное поле с  $H = 14,3$  кгаусс и облучена пучком  $\pi^-$ ,  $\mu^-$ -мезонов и электронов с  $p_c = 4$  Гэв.

Разработанная методика определения малых смещений осей треков может быть использована и в других экспериментах.

### §1. Измерения на одиночных следах

В окуляре микроскопа пузырьки видны как черные или серые зерна с нечетко ограниченными краями. Было определено, что физики, проводящие измерения, находят край пузырька со среднеквадратичной ошибкой  $\sigma = (0,9 \pm 0,1)$  дел.

На треках первичных электронов ( $\overline{pC} \approx 3$  ГэВ) определялось смещение осей двух соседних участков следа. Пары координат  $X_1, X_3$  и  $X_2, X_4$  измерялись по краям разного числа пузырьков (см. 1 и 2 столбцы табл. 1 и рис.1). Нить окулярного микрометра направлялась по касательной к первичному треку в точке, лежащей между измеряемыми участками следа. Смещение осей равно:

$$\xi = \frac{X_1 + X_3}{2} - \frac{X_2 + X_4}{2}. \quad (1)$$

Кроме того, определялось и смещение краев двух соседних участков следа:

$$\xi^* = X_1 - X_2 \quad \text{или} \quad \xi^* = X_3 - X_4. \quad (2)$$

Результаты измерений показаны в табл. 1. На их основании можно сделать следующие выводы:

1. Средние значения величин  $\xi$ ,  $(X_1 - X_3)$ ,  $(X_3 - X_4)$  в рамках ошибок равны нулю, что и подтверждает отсутствие систематических ошибок в процессе измерения.

2. Дисперсии величин  $\xi$ ,  $(X_1 - X_2)$ ,  $(X_3 - X_4)$  незначительно уменьшаются с ростом числа пузырьков, по краям которых определялись координаты (см. столбцы 4, 6, 8 табл. 1). Ошибка в определении оси первичного следа  $\sigma_{(X_2+X_4)/2}$  составляет 1,3 дел., что соответствует 25 микронам в камере (см. 9-й столбец табл. 1)<sup>/2/</sup>. Ширина первичных треков в наших условиях составляет  $\epsilon \approx 35$  дел. Высокая точность в определении оси треков связана с малым разбросом центров пузырьков вокруг истинной траектории частицы ( $\approx 4$  микрона в камере)<sup>/3/</sup>.

Ограничения точности определения осей треков связаны в основном с многократным рассеянием. Например, для  $p_c = 1$  Гэв и длины участка следа в камере 1 см (10 пузырьков) смещение, вызванное многократным рассеянием, составляет 1 дел. В нашем случае, когда длина измеряемого участка следа составляла  $\approx 0,5$  см в камере и  $p_c \approx 3$  Гэв, смещение было несущественным ( $\leq 0,1$  дел.).

3. Ошибки в определении разности верхних ( $X_3 - X_4$ ) и нижних ( $X_1 - X_2$ ) краев соседних участков треков на 0,6 дел. больше, чем ошибки в определении их осей ( $\xi$ ).

Также были измерены координаты  $X'_1$ ,  $X'_2$ ,  $X'_3$ ,  $X'_4$  (см. рис.1) по 3-4 пузырькам, и соответствующие величины оказались равны  $\xi' = (-0,2 \pm 0,2)$  дел. и  $\sigma_{\xi'} = 2$  дел. (расстояние между серединами участков треков составляет  $\approx 600$  дел.).

Таким образом, на расстояниях 1 см в камере дисторсии на пленке, многократное рассеяние электронов и неточности в определении касательной к треку незначительно влияют на точность измерения величины  $\xi$  ( $\sigma_{\xi} = 1,7$  дел. и  $\sigma_{\xi'} = 2$  дел.).

## §2. Измерения на $(e^+ e^-)$ -парах

Измерения проводились на  $(e^+ e^-)$ -парах, возникших в результате конверсий тормозных  $\gamma$ -квантов, излученных электронами. Отбирались пары, лежащие рядом с первичным треком, для которых энергии электрона и позитрона  $E_+$  и  $E_- \geq 15$  Мэв и  $0,1 \leq \frac{E_+}{E_\gamma} \leq 0,9$ . Измерялись координаты  $X_1$ ,  $X_3$  вершины  $(e^+ e^-)$ -пары по 3-4 пузырькам и координаты электрона  $X_2$  и позитрона  $X_4$  по 2-3 пузырькам на расстоянии 200 дел. от вершины пары. Ось  $(e^+ e^-)$ -пары направлялась по касательной к первичному треку в точке, лежащей между окном камеры и вершиной  $(e^+ e^-)$ -пары (угол вылета тормозного  $\gamma$ -кванта со-

тавляет  $\approx 2 \cdot 10^{-4}$  радиана). Смещение осей ( $e^+e^-$ ) -пары ( $\xi$ ) в вершине и на расстоянии 200 дел. определялось по уравнению (1) и было получено  $\bar{\xi} = (-0,1 \pm 0,2)$  дел. и  $\sigma_{\xi} = 2,0$  дел.

1. В связи с тем, что распределение измеряемых ( $e^+e^-$ ) - пар по величине  $v = \frac{E_+}{E_\gamma}$  является симметричным относительно  $v = 0,5$ , значение  $\bar{\xi} = (-0,1 \pm 0,2)$  дел. подтверждает отсутствие систематических смещений при измерениях на ( $e^+e^-$ ) -парах.

2. Полученное значение  $\sigma_{\xi} = 2,0$  дел. хорошо согласуется с  $\sigma_{\xi} = 1,9$  дел., найденной из результатов измерений на одиночных следах (см. табл. 1).

Таким образом, неточность в определении направления оси ( $e^+e^-$ ) -пары под микроскопом, различие в энергиях электрона и позитрона из ( $e^+e^-$ ) -пары, многократное рассеяние электронов и т.д. несущественны при измерениях осей энергичных ( $e^+e^-$ ) -пар на расстояниях до 200 дел.

Сравним ширину вершины трека ( $e^+e^-$ ) -пары с шириной участка первичного следа, лежащего рядом с ней. Участки следов, на которых проводятся измерения, находятся в малом объеме камеры, и генерация пузырьков происходит при одинаковых условиях. Поэтому разность ширин соответствующих треков может быть обусловлена тем, что пузырьки в вершине ( $e^+e^-$ ) -пары образуются двумя электронами в отличие от следа первичного электрона (угол между электроном и позитроном из ( $e^+e^-$ ) -пары равен  $\theta \approx 4 \text{ mrad}^2 / E_\gamma$ ).

Измерялась ширина вершины энергичной ( $E_\gamma \geq 50$  Мэв) ( $e^+e^-$ ) -пары ( $X_3 - X_1$ )<sub>II</sub> и ширина следа ( $X_3 - X_1$ )<sub>III</sub> под вершиной пары, в обоих случаях по 3-4 пузырькам. Было получено, что  $\bar{\Delta} = [(X_3 - X_1) - (X_3 - X_1)] = (0,2 \pm 0,4)$  дел. и  $\sigma_{\Delta} = 4,6$  дел. Отсюда вытекает, что систематической разницы ширин ( $e^+e^-$ ) -пары и первичного электрона нет.

Результаты измерений на одиночных следах и  $(e^+ e^-)$ -парах были использованы при определении смещений осей  $(e^+ e^-)$ -пар относительно осей первичных электронов для событий, в которых  $(e^+ e^-)$ -пара образована или электроном, или тормозным  $\gamma$ -квантом на первичном треке (см. рис.2) <sup>1/1</sup>.

Координаты  $X_1$ ,  $X_3$  первичного трека перед вершиной  $(e^+ e^-)$ -пары измерялись по 5-6 пузырькам, координаты  $X_2$ ,  $X_4$  вершины  $(e^+ e^-)$ -пары по 1-6 пузырькам в зависимости от их энергии. Для случаев, когда  $X_2 < X_3$  и  $X_4 > X_1$  величина  $\xi_1$  вычислялась следующим образом:  $\xi_1 = X_4 - X_3$ , если  $X_2 \geq X_1$  и  $X_4 \geq X_3$ ;  $\xi_1 = X_2 - X_1$ , если  $X_4 \leq X_3$  и  $X_2 \leq X_1$ . В остальных случаях  $\xi_1$  определялось с помощью уравнения (1) <sup>1/4</sup>.

Чтобы найти ошибку  $\sigma_\xi$ , определялась величина  $\xi_2$  по измерениям на других участках следов  $(e^+ e^-)$ -пары и первичного электрона, чем в случае  $\xi_1$ . Измерения "вне вершины пары" ( $\xi_2$ ) проводились другим физиком. Было получено, что  $(\overline{\xi_1 - \xi_2}) = (0,3 \pm 0,3)$  дел. и  $\sigma_{\xi_1 - \xi_2} = 3,0$  дел. Отсюда в связи с независимостью  $\xi_1$  и  $\xi_2$  ошибка равна:  $\sigma_\xi = \sigma_{\xi_1 - \xi_2} / \sqrt{2} = (2,1 \pm 0,2)$  дел. Оказалось, что в рамках приведенной неопределенности  $\pm 0,2$  дел. ошибка  $\sigma_\xi$  не зависит от энергий  $(e^+ e^-)$ -пар, а также от значений величины  $\xi$ . Если исходить из результатов измерений одиночных треков и  $(e^+ e^-)$ -пар, то вычисленное значение ошибки  $\sigma_\xi$  равно: для  $-8 \leq \xi \leq 6$  дел  $-\sigma_\xi = (1,9 \pm 0,3)$  дел и для  $6 \leq \xi \leq 30$  дел.  $-\sigma_\xi = (2,3 \pm 0,2)$  дел., что находится в хорошем согласии с  $\sigma_\xi = (2,1 \pm 0,2)$  дел.

Таким образом, проведенные измерения показали, что точность в определении смещений осей одиночных треков,  $(e^+ e^-)$ -пар и пар, образованных электронами, почти одинакова и  $\sigma_\xi \approx 2$  дел., т.е. составляет  $\sim \frac{1}{15}$  от ширины трека.

§3. Выделение событий по величине  $\Delta = \xi_{\text{л}} - \xi_{\text{п}}$

Введем величину  $\Delta = \xi_{\text{л}} - \xi_{\text{п}}$ , где  $\xi_{\text{л}}$  и  $\xi_{\text{п}}$  – соответствующие значения величины  $\xi$  на левом и правом стереокадрах. Для событий, у которых величина  $\xi$  не имеет составляющей компоненты в направлении оптических осей фотоаппаратов, т.е. по глубине ( $z$ ),  $\Delta = 0$ . В противоположном случае  $\Delta \neq 0$  и может быть описана приближенным выражением (без учета показателей преломления):

$$\Delta = \frac{B \xi_z}{z(H+Z)}, \quad (3)$$

где  $B$  – база фотоаппаратов,  $z$  – увеличение оптической системы,  $H+Z$  – эффективная высота, на которой установлены фотоаппараты.

Для процессов типа тормозного излучения, сопровождаемого конверсий  $\gamma$ -квантов в  $(e^+e^-)$ -пары, величина  $\xi_z$  очень мала ( $\xi_z = \frac{mc^2}{E} l$ , где  $E$  и  $m$  – энергия и масса электрона,  $l$  – длина конверсии). В связи с этим легко отделить события такого типа по  $\Delta$  от случаев случайного наложения  $(e^+e^-)$ -пар на следы первичных частиц.

На рис.3 показано распределение событий типа тормозного излучения или прямого образования пар, а также случайных наложений, по величине  $\Delta$ . Отсюда видно, что имеется две группы событий. События с  $|\Delta| \leq 10$  дел. в основном связаны с тормозным излучением и прямым образованием  $(e^+e^-)$ -пар электронами. Действительно, для таких случаев  $|\Delta| \leq 2,8$  дел (см. уравн. (3)<sup>3</sup>). События с  $|\Delta| \geq 10$  дел. связаны со случайным наложением  $(e^+e^-)$ -пар. Примесь таких событий в группу с  $|\Delta| \leq 10$  дел. составляет  $\lesssim 3\%$ .

Эта методика разделения  $(e^+e^-)$ -пар по величине  $\Delta$  может быть использована и в других экспериментах. Например, в эксперимен-

так, проводимых с помощью пузырьковых камер, наполненных тяжелой жидкостью, этот метод можно использовать для отделения тормозных ( $e^+ e^-$ ) -пар от событий, связанных со случайным их наложением.

### Л и т е р а т у р а

1. Я. Бэм, В.Г. Гришин, М.М. Муминов, В.Н. Стрельцов. Препринт ОИЯИ, Р1-4023, Дубна, 1968.
2. V.G. Kirillov-Ugryumov, L.P. Kotenko, E.P. Kuznetsov, A.V. Samoilov. Nuclear Instr., 31 265 (1958).
3. R.W. Williams. Rev. Scient. Instr., 32 1378 (1961).
4. Я. Бэм, В.Г. Гришин, М.М. Муминов, В.Д. Рябцев. Препринт ОИЯИ, Р1-3143, Дубна, 1967.

Рукопись поступила в издательский отдел

20 сентября 1968 года.

Т а б л и ц а I

| Число пузырьков |            | Число случаев  |              |                |                      |                |                      |
|-----------------|------------|----------------|--------------|----------------|----------------------|----------------|----------------------|
| $X_1, X_4$      | $X_2, X_3$ | $\xi$          | $\sigma_\xi$ | $(X_1 - X_3)$  | $\sigma_{X_1 - X_3}$ | $X_3 - X_4$    | $\sigma_{X_3 - X_4}$ |
| 5-6             | 1          | $0 \pm 0,2$    | 1,8          | $-0,1 \pm 0,3$ | 2,8                  | $0 \pm 0,2$    | 2,5                  |
| 5-6             | 2          | $0 \pm 0,2$    | 1,9          | $0,3 \pm 0,2$  | 2,5                  | $-0,2 \pm 0,2$ | 2,2                  |
| 3-4             | 3-4        | $-0,2 \pm 0,2$ | 1,7          | $0,2 \pm 0,2$  | 2,3                  | $0 \pm 0,2$    | 2,3                  |
| 5-6             | 5-6        | $0,1 \pm 0,1$  | 1,4          | $0,4 \pm 0,2$  | 1,9                  | $-0,5 \pm 0,2$ | 2,0                  |
|                 |            |                |              |                |                      |                |                      |
|                 |            | 1              | 2            | 3              | 4                    | 5              | 6                    |
|                 |            | 7              | 8            | 9              | 10                   |                |                      |

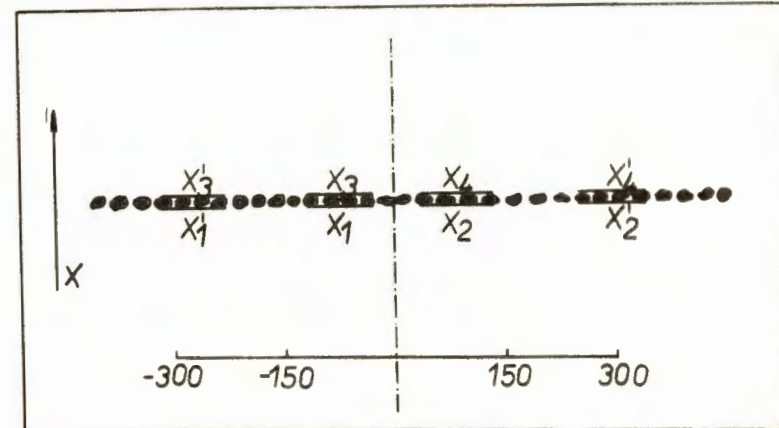


Рис.1. Схема измерения величины  $\xi$  на треках первичных электронов. Прямые линии показывают усреднение координат  $X$  по 3-4 пузырькам. Поле окулярного микрометра имеет диаметр  $\approx 800$  дел.

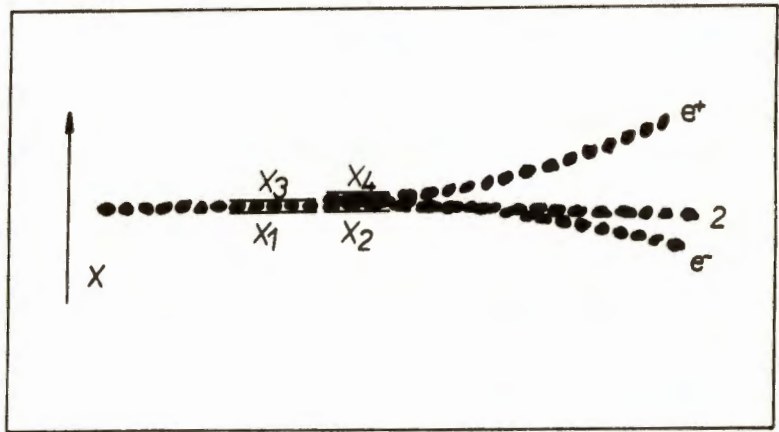


Рис.2. Схема измерения величины  $\xi$  для процессов образования  $(e^+ e^-)$ -пар электронами и тормозными  $\gamma$ -квантами.

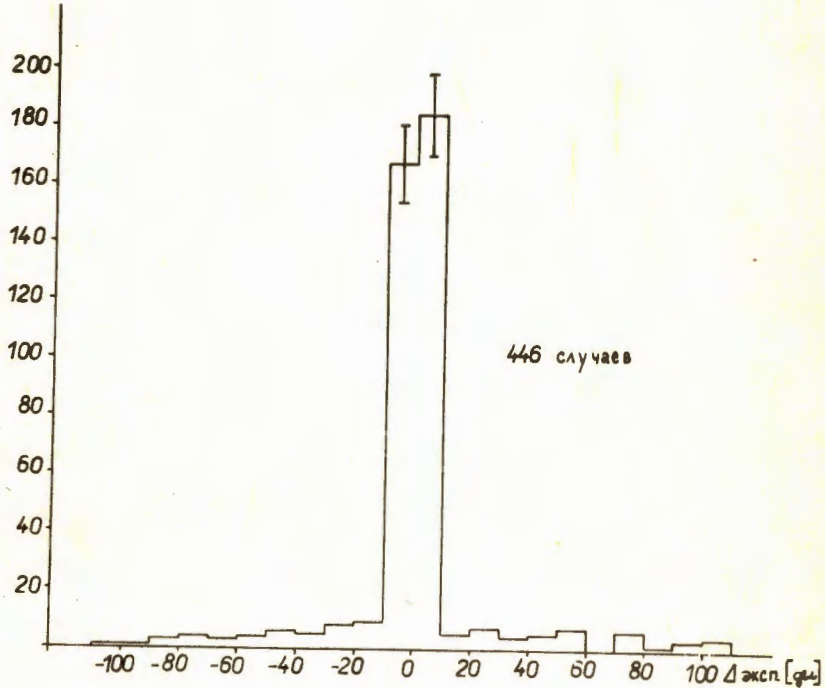


Рис.3. Гистограмма распределения событий от процессов образования  $(e^+e^-)$ -пар электронами и тормозными  $\gamma$ -квантами и случайных наложений  $(e^+e^-)$ -пар по величине  $\Delta = \xi_L - \xi_P$ .